

# Steady Motion of a Vortex Filament

京大 数理研 木田 重雄

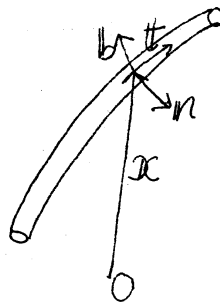
## §1. 要旨

無限に細い渦糸の運動は、いわゆる Localized induction equation に支配される。<sup>1)~4)</sup> この方程式の軸対称的定常解を求め、解は三つのパラメータを含み、他の著者<sup>5)~8)</sup>によって既に得られている解の一般化になっている。解の線形安定性については改めて報告する。

## §2. Localized induction equation

渦糸の運動は、その太さが充分細い時には、いわゆる Localized induction equation

$$\frac{d}{dt} x = \frac{\kappa c}{4\pi} b \log \frac{L}{\sigma} + C \quad (2-1)$$



で記述される事が知られている。ここに、 $x$ は流体要素の位置、 $t$ は時間、 $\kappa$ は渦糸の循環、 $c$ は点 $x$ における渦糸の曲率、 $b$ は従法線ベクトル、 $L$ は渦糸の代表的長さ、 $\sigma$ は渦糸の断面における長さ、 $C$ は $O(1)$ の量で、他の渦糸から誘導される速度を含んでいる。方程式(2-1)は任意の渦度分布に対して成り立つ。また誘導速度は渦糸に垂直であるから、渦糸は決して伸び縮みしない。

(2-1)の右辺第二項を落とす、適当な scale 変換を行なうと、

$$\frac{\partial X}{\partial t} = \dot{X} \times \ddot{X} \quad (2-2)$$

が得られる。但し、 $X = X(s, t)$ は渦糸の位置ベクトル、 $\cdot$ は渦糸の長さ $s$ による微分を表わす。

渦糸が変形しないで運動する場合には、一般に、

$$\frac{\partial X}{\partial t} = -C \dot{X} + \Omega \hat{z} \times X + \nabla \hat{z} + W \hat{x}(t) \quad (2-3)$$

と書ける。ここに、 $C, \Omega, \nabla, W$ は定数で、 $\hat{z}, \hat{x}(t)$ は、それぞれ $z$ 方向、 $z$ に垂直な方向の単位ベクトルである。以下では、軸対称的な場合( $W=0$ )

$$\frac{\partial X}{\partial t} = -C \dot{X} + \Omega \hat{z} \times X + \nabla \hat{z} \quad (2-4)$$

と考える。但し、 $\dot{X}, \hat{z} \times X, \hat{z}$ は一次独立とする。<sup>\*次頁脚注)</sup>

この時、(2-2)は、

$$-C\dot{x} + \Omega \hat{z} \times x + \nabla \hat{z} = \dot{x} \times \ddot{x} \quad (2-5)$$

となる。ゆえに、(2-2)より

$$\frac{\partial}{\partial t} |\dot{x}| = 0 \quad (2-6)$$

であるから

$$|\dot{x}| = 1 \quad (2-7)$$

と規格化する。

§3.  $\Omega = 0$  の場合 (上記の一次従属の場合に当る)

①  $\nabla = 0$  なら  $C = 0$  となり、解は直線

$$x = a s + b \quad (|a| = 1) \quad (3-1)$$

である。

②  $\nabla \neq 0$  なら、解は、 $z$  軸に平行な軸をもつらせんである。

直角座標  $(x, y, z)$  で表わすと

---

\*前頁脚注)  $\dot{x}$ ,  $\hat{z} \times x$ ,  $\hat{z}$  が一次従属の場合は、①  $z$  軸と軸とするらせん、②  $z$  軸に平行な直線 のどちらかになる。

$$\begin{cases} x = \pm \frac{\sqrt{V^2 - C^2}}{V} \cos V(s - s_0) + x_0 \\ y = \pm \frac{\sqrt{V^2 - C^2}}{V} \sin V(s - s_0) + y_0 \\ z = \frac{C}{V} s + z_0 \end{cases} \quad (3-2)$$

である。但し、 $x_0, y_0, z_0, s_0$  は定数であり、 $V^2 \geq C^2$  なる条件が必要である。このらせんは  $z$  軸方向へ速度  $(1 + \frac{C^2}{V^2})V$  で動いていると見なす事ができる。

#### §4. $C = V = 0, \Omega_0 > 0$ の場合<sup>6)</sup>

この場合の解は平面曲線で、円筒座標  $(r, \theta, z)$  を用いる

$$\begin{cases} r = -\frac{2k}{\sqrt{\Omega_0}} \operatorname{cn}(\sqrt{\Omega_0}(s - s_0) | k) \\ z = s - s_0 - \frac{2}{\sqrt{\Omega_0}} E(\sqrt{\Omega_0}(s - s_0) | k) + z_0 \\ \dot{\theta} = 0 \end{cases} \quad (4-1)$$

と書ける。ここに  $s_0, z_0$  は定数で、 $\operatorname{cn}$  はヤコビの楕円関数である。母数  $k$  は振幅を表わすパラメータと考えられ、楕円が交叉しない条件から  $0 \leq k \leq 0.8551$  である。また、 $E$  は第二種楕円積分

$$E(u|k) = \int_0^u dn^2(u'|k) du' \quad (4-2)$$

である。

$k \rightarrow 0$  の時 (4.1) は三角関数型の渦糸を表わす。<sup>9)</sup>

$$\begin{cases} r \approx -\frac{2k}{\sqrt{\delta_0}} \cos \sqrt{\delta_0} (s-s_0) \\ z \approx -(s-s_0) + z_0 \end{cases} \quad (4-3)$$

§5.  $\delta_0 > 0$  の場合

円筒座標  $(r, \theta, z)$  を用いて (2-5), (2-7) を書き表わす

$$\text{と} \quad \begin{cases} -C\dot{r} = r\dot{\theta}\ddot{z} - (2r\dot{\theta} + r\ddot{\theta})\dot{z} \end{cases} \quad (5-1)$$

$$\begin{cases} -Cr\dot{\theta} + \delta_0 r = (\ddot{r} - r\dot{\theta}^2)\dot{z} - \dot{r}\ddot{z} \end{cases} \quad (5-2)$$

$$\begin{cases} -C\dot{z} + V = \dot{r}(2r\dot{\theta} + r\ddot{\theta}) - r\dot{\theta}(\ddot{r} - r\dot{\theta}^2) \end{cases} \quad (5-3)$$

$$\dot{r}^2 + r^2\dot{\theta}^2 + \dot{z}^2 = 1 \quad (5-4)$$

とる。 (5-1), (5-3) より

$$\dot{z} = -\frac{\delta_0}{2}(R-A) \quad (5-5)$$

が得られる。ここに

$$R = r^2 \quad (5-6)$$

で、 $A$  は積分定数である。

さて、スケール変換

$$\tilde{S} = \sqrt{\delta} S, \quad \tilde{R} = \delta R, \quad \tilde{V} = V/\sqrt{\delta}, \quad \tilde{C} = C/\sqrt{\delta}, \quad \tilde{A} = \delta A \quad (5-7)$$

と行ない (5-1) ~ (5-6) と書き換える。その後、簡単のために  $\sim$  を省略する。これは、最初から  $\delta = 1$  と置いた場合に対応している。多少の計算の後、

$$\dot{\theta} = \frac{V}{2} + \frac{1}{R} \left( C - \frac{AV}{2} \right) \quad (5-8)$$

$$R^2 + R^3 + (V^2 - 2A)R^2 + (A^2 - 4 - 2AV^2 + 4VC)R + (2C - AV)^2 = 0 \quad (5-9)$$

が得られる。

$$R^3 + (V^2 - 2A)R^2 + (A^2 - 4 - 2AV^2 + 4VC)R + (2C - AV)^2 = 0 \quad (5-10)$$

の三根を  $\alpha, \beta, -\gamma$  ( $\alpha \geq \beta \geq 0, \gamma \geq 0$ ) とすると、

$$R = \beta + (\beta - \alpha) \operatorname{sn}^2 \left( \frac{\sqrt{\alpha + \gamma}}{2} s / \sqrt{\frac{\alpha - \beta}{\alpha + \gamma}} \right) \quad (5-11)$$

と表わされる。  $R$  の周期は、

$$\frac{4K\left(\sqrt{\frac{\alpha - \beta}{\alpha + \gamma}}\right)}{\sqrt{\alpha + \gamma}} \quad (5-12)$$

である。ここに  $K$  は第一種完全楕円積分である。

(5-11) と (5-5) に代入し、 $S$  で積分すると

$$z = \left(\frac{A}{2} + \frac{\gamma}{2}\right)S - \sqrt{\alpha + \gamma} E\left(\frac{\sqrt{\alpha + \gamma}}{2} S \mid \sqrt{\frac{\alpha - \beta}{\alpha + \gamma}}\right) \quad (5-13)$$

が得られる。第二種楕円積分は

$$E(u + 2K(k) \mid k) = E(u \mid k) + 2E(k) \quad (5-14)$$

る条件を満たす。ここに  $E$  は第二種完全楕円積分である。従って、 $z$  が周期的であるためには、

$$\frac{A + \gamma}{\alpha + \gamma} = \frac{E\left(\sqrt{\frac{\alpha - \beta}{\alpha + \gamma}}\right)}{K\left(\sqrt{\frac{\alpha - \beta}{\alpha + \gamma}}\right)} \quad (5-15)$$

が必要かつ充分な条件となる。

(5-11) と (5-8) に代入し、 $S$  で積分すると

$$\theta = \frac{V}{2}S + \frac{2C - AV}{2\sqrt{\alpha + \gamma}} \Pi\left(\frac{\sqrt{\alpha + \gamma}}{2} S \mid \frac{\alpha - \beta}{\alpha}, \sqrt{\frac{\alpha - \beta}{\alpha + \gamma}}\right) \quad (5-16)$$

が得られる。但し  $\Pi$  は第三種楕円積分で

$$\Pi(u \mid l, k) = \int_0^u \frac{du'}{1 - l \sin^2(u' \mid k)} \quad (5-17)$$

で定義される。

以上により、変形しない渦糸の形は、(5-11)、(5-13) 及び (5-16) で表わされる事が分った。その形は三つのパラメータ  $C, V, A$  (又は  $\alpha, \beta, \gamma$ ) の値によって異なり、一般に

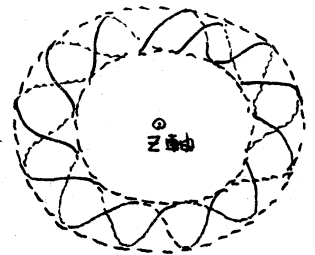
は閉曲線とはならず無限の長さを持つ。特に、パラメータ間に次の関係があれば解は閉曲線となる。

$$\frac{2V \cdot K(\sqrt{\frac{\alpha-\beta}{\alpha+\gamma}})}{\sqrt{\alpha+\gamma}} + \frac{2(2C-AT)}{\alpha\sqrt{\alpha+\gamma}} \Pi\left(\frac{\alpha-\beta}{\alpha}, \sqrt{\frac{\alpha-\beta}{\alpha+\gamma}}\right) = \frac{2m}{m} \pi \quad (5-18)$$

但し、 $\Pi(l, k) = \Pi(K(k) | l, k) \quad (5-19)$

で、 $m$ と $n$ は互に素な整数である。

この時、渦糸は右図の様なドーナツの表面を $m$ 回巻きつき、 $z$ 軸の回りを $n$ 回まわった後、もとの位置にもどる。



[ $m=13, n=2$ の場合]

§4は§5の特別の場合( $C=V=0$ )である。

## §6. 解の安定性

前節で得た解の安定性と線形安定論で調べてみよう。変形しない解 $x_0(s, t)$ に微小攪乱を加え、

$$x(s, t) = x_0(s, t) + x_1(s, t) \quad (6-1)$$

(2-5), (2-7)に代入し、攪乱について線形化する。



攪乱の時間依存性を  $e^{\sigma t}$  とし、 $\sigma$  の実数部分の符号の正負で安定不安定の判断をする。

$$x_1 = u \dot{x}_0 + v \ddot{x}_0 + w \dot{x}_0 \times \ddot{x}_0 \quad (6-2)$$

と成分表示すれば、 $u, v, w$  を支配する方程式は、

$$\left\{ \begin{array}{l} \sigma u = -Cv - \phi \frac{d}{ds} w \quad (6-3) \\ \left( \frac{d}{ds} \phi \frac{d}{ds} + \phi^2 \right) v = \left( C \frac{d}{ds} + \sigma \phi \right) w \quad (6-4) \\ \frac{d}{ds} \phi \frac{d}{ds} w = - \left( C \frac{d}{ds} + \sigma \phi \right) v \quad (6-5) \end{array} \right.$$

となる事が分る。但し、

$$\phi \equiv |\ddot{x}_0|^2 \quad (6-6)$$

$$\dot{\phi}^2 = -\phi^3 + a\phi^2 + b\phi - c^2 \quad (6-7)$$

である。これらの方程式を適当な境界条件のもとで解けばよいのであるが、その結果は、改めて報告する。

ただ、特別な場合として、 $x_0$  が円の場合は中立安定、らせんの場合は不安定であると言う事は既に知られている。<sup>5) 10)</sup>

## [参考文献]

- 1) Fraenkel, L. E. 1970 Proc. Roy. Soc. Lond. A316, 29.
- 2) Fraenkel, L. E. 1972 J. Fluid Mech. 51, 119.
- 3) Saffman, P. G. 1970 Stud. Appl. Math. 49, 371.
- 4) Tung, C. & Ting, L. 1967 Phys. Fluids 10, 901.
- 5) Betchov, R. 1965 J. Fluid Mech. 22, 471.
- 6) Hasimoto, H. 1971 J. Phys. Soc. Japan. 31, 293.
- 7) Hasimoto, H. 1972 J. Fluid Mech. 51, 477.
- 8) Hasimoto, H. & Kambe, T. 1971 物理学会第26回年会
- 9) Kelvin, Lord 1880 Mathematical and Physical Papers  
vol. 4, p. 152, Cambridge University Press.
- 10) Kambe, T. & Takeo, T. 1971 J. Phys. Soc. Japan. 31, 591.